

## تقدير الفناديم من خلال تكوينه المعقد التناسقي مع حامض الثايوكلاليكول

أياد حمزة جاسم \* وبشرى بشير قاسم \*

\* قسم الكيمياء ، كلية العلوم ، جامعة النهرين.

\*\* قسم الكيمياء، كلية العلوم، جامعة بغداد، بغداد/العراق.

### الخلاصة :

حضر معقد جديد للفنadiوم الرباعي مع الكاشف thioglycolic acid(SH) ودرست الظروف الفضلى لاستقراره ، كما رسمت اطيف الامتصاص الجزيئي (UV-Vis) للكاشف (SH) وايون الفناديل الحر (VO<sup>2+</sup>) والمعقد (VO-SH) عند الاطول الموجي العظمى ( $\lambda_{max}$ ) 225.4، 214، 246 نانومتر على التوالي. استثمر التفاعل لايجاد طريقة مبشرة لتقدير كميات نانوغرامية من الفنadiوم و درست عدة متغيرات وصولا الى الظروف الفضلى المنتخبة. يتم الحصول على منحنى المعايير ضمن المدى التركيزى (12-0.05) مابكروغرام/مل وبخطية عالية (99.78%) وبمعامل ارتباط (r)=0.9989. حددت دقة وضبط الطريقة التحليلية المنتحبة بحساب الانحراف القياسي النسبي المئوي (0.31=%RSD) والاسترداد المئوي 99.6 وحد الكشف (DL=0.1نانوغرام/مل). درست طبيعة المعقد المتكون في المحلول لايجاد نسبة الفنadiوم إلى الكاشف في المعقده المتكون بطريقة التغييرات المستمرة ووجد ان (3:2=VO-SH) عند pH = 5.5-5.0 . كما درست تاثيرات الايونات المتداخلة لبعض العناصر و تم تفسيرها من الناحية الدينمية و احتساب E<sub>cell</sub> و  $\Delta G$  و K لتفاعلات انصاف الخلايا مع الفنadiوم ولوحظ ان تاثيرها قليل ويمكن اهماله تحت ظروف التجربة.

### المقدمة :

حالة التأكسد الرباعية على هيئة (Vanadyl VO<sup>2+</sup>) وتكون معقدات ايونية سالبة وموجية ومتعدلة مستقرة مع كل انواع الليكاندات وان ذرة V مرتبطة تناسقا مع ذرة O فقد وجدت طرائق كثيرة ومشعبة لتشخيصه نوعيا وتقديره كميأ (4,3).

لقد استخدمت الطرائق الطيفية لتقدير الفنadiوم (IV)<sup>(10-5)</sup> نظرا لدقتها وتنوع استخداماتها والتي تعتمد على العلاقة البسيطة بين امتصاص الاشعاع عند طول موجي معين وتركيز المكونات المحللة الذائبة في المحلول، ولاجل تقدير هذه المكونات فانها تحول في الغال ب الي معقدات ذاتية باستخدام كواشف عضوية مما يتيح القياس بحساسية وانتقائية عاليتين ، كذلك اظهر عنصر الفنadiوم والذي يتتمي للمجموعة الخامسة من العناصر الانتقالية خواصا يقلد من خلالها عمل الانسولين عند اعطائه للجرذالمصاب بداء السكري (12,11) ولا يعتمد التأثير الخافض للكلوكرز للفنadiوم على حالة اكسدته (V او IV) مع ذلك تعتبر التأثيرات السامة لایون الفناديت (VO<sub>4</sub><sup>3-</sup>) اكثر من تلك التي لوحظت لایون الفناديل (VO<sup>2+</sup>)<sup>(13)</sup>. تم الاستفادة من تكوين معقدات عضوية مع عنصر الفنadiوم

تستخدم الكواشف العضوية الحاوية على مجاميع هيدروكسيلية او بروتونات مرتبطة بمجاميع ساحبة للاكترونات في التحليل الكيميائي للعناصر الفلزية و تكون بشكل عام حومض ضعيفة وتكون لقواعدها القرينة القابلية على التناقض كمعاضدات . يكون الايون الفلزي المركزي معقدات مختلفة الثباتية مع معاضدات مختلفة ويعتمد ذلك على الشحنة ونص ف القطر والتوزيع الالكتروني والاستقطابية للايون الفلزي . استخدمت مشقات الثايزول لاغراض التحليل الاعضوي ومن هذه المشقات: 4-Aminophenyl-4-(3,4-dihydroxy phenyl) thiazole hydrochloride (2AP)، اذ استخدم في التقدير الكمي لعنصر الفنadiوم عام 1992<sup>(1)</sup>، كذلك المشتق thioglycolic acid (HSCH<sub>2</sub>COOH) الذي يمتلك صفات الفعالية الانزيمية<sup>(2)</sup>، ونظرا للاحتمالية الاحيائية والتاثيرات السمية والتطبيقات الصناعية الواسعة والأهمية التحليلية للفنadiوم ولما يمتاز به من صفات قلقة وبتعدد حالاته التاكسدية في المحاليل المائية (V,IV,III,II) وكون اكثرا حالاته التاكسدية استقرارا هي

## أياد حمزه جاسم

- حضرت المحاليل القياسية للايونات الدخيلة (100 جزء بالمليون) و لكل أيون في 100 مل ماء مقطر.

### أ- المواد المجهزة من قبل شركة

#### Hopkin & Williams

$\text{Cu}(\text{NO}_3)_2 \cdot 3\text{H}_2\text{O}$	0.03805 : Cu(II)
$\text{Ni}(\text{NO}_3)_2 \cdot 6\text{H}_2\text{O}$	0.04963 : Ni(II)
	و $\text{AlCl}_3 \cdot 6\text{H}_2\text{O}$ 0.08949 غم من Al(III)

### ب- المواد المجهزة من قبل شركة Fluka.A.G

$\text{Fe}(\text{NO}_3)_3 \cdot 9\text{H}_2\text{O}$	0.07234 : Fe(III)
: $\text{Mn}(\text{II})$ و $\text{FeSO}_4 \cdot 7\text{H}_2\text{O}$	0.04982 غم من Fe(II)
: $\text{Mg}(\text{II})$ و $\text{Mn}(\text{NO}_3)_2 \cdot 4\text{H}_2\text{O}$	0.04569 غم من Mg(II)

.  $\text{Mg}(\text{NO}_3)_2 \cdot 5\text{H}_2\text{O}$  0.10543 غم من

### ج- المواد المجهزة من قبل شركة BDH

$\text{Co}(\text{NO}_3)_2 \cdot 6\text{H}_2\text{O}$	0.04932 : Co(II)
$\text{Cr}(\text{NO}_3)_2 \cdot 9\text{H}_2\text{O}$	0.07696 : Cr(III)
	و $\text{Na}_2\text{SO}_4$ 0.03088 غم من Na(I)

### الاجهزة المستخدمة

جهاز قياس الاشعة المرئية وال فوق البنفسجية

نوع / Perkin–Elmer Spectrophotometer, Hitach / with Recorder 200 و جهاز قياس pH نوع / M62(Radiometer, Copanhagen) حساس نوع / Sartorius (BL2105) حذفت التداخلات المحتملة وتأثيرات المحاليل او نوعية الخلايا المستخدمة بالقياس (كوارتز) بطريقة الشعاع المزدوج وتنبيت محلول مرجعي في كل قياس.

### طريقة العمل المنتخبة

تم تهيئة محلول مائي يحتوي على 10 ميكروغرام/مل لأيون الفناديوم في قنينة حجمية سعة 50 مل ومضاف اليه 5 مل من محلول الكاشف (30 مل مولاري) و 1 مل من 1 مولاري خلات الصوديوم للمحافظة على pH محلول ما بين 5.0 – 5.5 و اكمل الحجم الى حد العلامات بالماء المقطر رج محلول وترك جانبًا لمدة عشرة دقائق صن من درجة حرارة الغرفة (20-30)°C قيست الامتصاصية للمعدن عند 225.4 نانوميتر ضد محلول مرجع (الماء المقطر).

وكما ذكر سابقاً لزيادة الفعالية الدوائية من ناحية عملها كمقادات للانسولين<sup>(14)</sup>.

من مراجعة الابحاث العلمية اتضحت عدم تحضير ودراسة المعدن (VO-SH) سابقاً لذا تم تحضيره ودراسة الظروف الفضلى المنتخبة لايجاد طريقة طيفية مباشرة وبسيطة لنقير عنصر الفناديوم.

### المواد الكيميائية (المحاليل القياسية)

- محلول الكاشف (HS-CH<sub>2</sub>COOH) (3 ملي مولاري): لتحضير 3 ملي مولاري من الكاشف تم سحب 5 مل من محلول تركيزه 30 ملي مول وخفق بالماء المقطر الى 50 مل.

- كبريتات الفناديوم المائية (VOSO<sub>4</sub>.5H<sub>2</sub>O) 100 (VOSO<sub>4</sub>.5H<sub>2</sub>O) جزء بالمليون): حضرت بأذابة 0.04966 غم من كبريتات الفناديوم المائية الزرقاء اللون (مجهزه من قبل شركة Merck) واكمل الحجم الى 100 مل، وحضر منه سلسلة من المحاليل المخففة.

### البفرات المستخدمة

- حامض الخليك (1 مولاري): - 28.74 مل من حامض الخليك المركز (%) 99.5 (BDH) خف بالماء المقطر الى 500 ملتر.

- خلات الصوديوم (1 مولاري): - حضر بأذابة 41.02 غم من خلات الصوديوم (BDH) واكمل الحجم الى 500 ملتر.

- مزيج من حامض الخليك وخلات الصوديوم 0.2 (مولاري): - اضيف الى 100 مل من حامض الخليك (1مولاري) 100 مل من خلات الصوديوم (1 مولاري) واكمل الحجم الى 500 ملتر.

- حامض الفسفوريك (1 مولاري): خف 31.81 مل من حامض الفسفوريك (%) 88.5 (BDH) بالماء المقطر الى 500 ملتر.

- حامض الكبريتيك (1 مولاري): خف 27.86 مل من حامض الكبريتيك (%) 98 (BDH) بالماء المقطر الى 500 ملتر.

- هيدروكسيد الصوديوم (1 مولاري) : حضر بأذابة 20.51 غم من هيدروكسيد الصوديوم (BDH) بالماء المقطر وخف الى 250 ملتر.

1M H<sub>2</sub>SO<sub>4</sub> ، 1M NaOH [1M H<sub>2</sub>SO<sub>4</sub> ، 1M NaOH] حيث تم اخذ 1 مل من كل بفر . وتتضمن السلسلة الثانية من المحاليل وجود الكاشف فقط مع البفرات المذكورة أعلاً ، قيست الامتصاصية أولاً و pH ثانياً للمحاليل القياسية يوضح الشكل (3) ان افضل امتصاص للمعهد عند pH = 5.5 بوجود البفر CH<sub>3</sub>COONa 1M ان زيادة قيمة pH اكبر من ذلك يؤدي الى انخفاض قيمة الامتصاص . يمكن تفسير ذلك بأن ايون الفنadiوم يتصرف بشكل استثنائي حيث يكون بصيغة الفناديل VO<sup>2+</sup> في الوسط الحامضي جداً (pH = 6-1) ويحمل شحنات سالبة في الوسط القاعدي جداً (3) اذ يكون بالصيغة الاتية : VO(OH)<sub>3</sub><sup>-</sup> ، SH<sub>2</sub>(OH)<sub>5</sub><sup>-</sup> وبشكل مقدار سالبة ذات فضائل آيونية صغيرة في المحلول مما يؤدي الى نشتت كبير في الضوء الساقط مما يمنع تطبيق قانون لامبرت-بير كعلاقة طردية بين الامتصاص والتركيز في مدى من pH من 8-12 ، اما عند pH > 5 فأن الانخفاض في الامتصاصية يعزى الى عدم اكمال تكون المعهد الا عند pH = 5.5.

#### \* مفاضلة تراكيز البفر 1M CH<sub>3</sub>COONa

حضرت مجموعة محاليل بتراكيز متغيرة (0.06، 0.1، 0.2، 0.3، 0.5) م مولاري من البفر 1M CH<sub>3</sub>COONa لتحديد افضل تركيز للبفر لكي يعطي على شدة امتصاص وقد تم الحصول على الشكل (4) الذي يوضح ان افضل تركيز 0.15 مولاري بثبوت تراكيز الكاشف والايون يعطي شكلاً منتظماً وارتفاعاً للقمة مناسباً لاغراض التحليل، أما عند التراكيز العالية من البفر فقد لوحظ حدوث انحراف وانخفاض شديد بالامتصاصية.

#### \* مفاضلة تراكيز ايون الفناديل VO<sup>2+</sup>

بثبتوت تراكيز الكاشف (3 ملي مولاري) والبفر 0.15 مولاري لخلات الصوديوم، تم تحضير سلسلة محاليل قياسية بتراكيز م تغيره (5، 10، 15، 20، 25) جزء بالمليون من ايون الفنadiوم، قيست الامتصاصية للمحاليل وتم الحصول على الشكل (5) لوحظ ان زيادة تركيز الايون يزيد من شدة الامتصاص للمعهد وحسب قوانين الامتصاصية.

#### نتائج و المناقشة

جرت دراسة طيفية للكاشف (SH) مع ايون الفنadiوم في المنطقة المرئية وال فوق البنفسجية، حيث اخذ حجم معين من الكاشف (3 ملي مولاري) في خلية القياس مقابل المذيب (الماء المقطر) في خلية المرجع . يظهر الشكل (1) طيف امتصاص وقمة الامتصاص العظمى في المنطقة فوق البنفسجية عند الطول الموجي الاعظم  $\lambda_{max}$  (VO-SH) كما في 246 نانوميتراً تم تحضير المعهد (200-800) نانوميتراً مقابل محلول الكاشف في خلية المرجع وكذلك اجري مسح طيفي لمحلول الايون فقط الشكل (1) اذ تمت مقارنة اطيف الامتصاص لكل من الايون والكاشف والمعهد لوحظ ان للكاشف القابلية على تكوين معهد مع (IV) وبقمة امتصاص عظمى عند  $\lambda_{max}$  V(IV) = 225.4 نانوميتراً وهي مغايرة لقمة امتصاص SH (214 نانوميتراً) والكاشف  $\lambda_{max}$  = 246 نانوميتراً ان موقع وشكل قمة المعهد الناتج نتيحة استثمار هذا التفاعل لتقدير عنصر الفنadiوم دون تداخلها مع قمم الكاشف والايون.

#### دراسة الظروف الفضلى لتكوين المعهد

##### \* مفاضلة تراكيز الكاشف (SH)

حضرت مجموعة محاليل بتراكيز متغيرة (0.04، 0.1، 0.1، 0.1، 0.1، 0.1) ملي مولاري من الكاشف لتحديد افضل تركيز للكاشف والذي يعطي على شدة امتصاص وقد تم الحصول على الشكل (2) الذي يوضح ان افضل تركيز كان 3 ملي مولاري والذي يعطي شكلاً منتظماً وارتفاعاً للقمة مناسباً لاغراض التحليلية ويقع ضمن حدود المنظومة الالكترونية اما عند التراكيز العالية لوحظ انخفاض بالامتصاصية وانحرافاً عن قانون لا مبرت- بير.

##### \* تأثير pH المحلول على تكوين المعهد

اجريت الدراسة باستخدام تركيز ثابت لكل من V(IV) (10 جزء بالمليون) ومحلول الكاشف (3 ملي مولاري) اذ تم تحضير سلسلتين من المحاليل القياسية تتضمن السلسلة الاولى تكوين المعهد بوجود انواع مختلفة من البفرات. 1MCH<sub>3</sub>COONa ، 1MCH<sub>3</sub>COOH] H<sub>3</sub>PO<sub>4</sub> (0.2MCH<sub>3</sub>COOH+0.2MCH<sub>3</sub>COONa)

حساسة ويمكن استثمارها لنقدير الفناديوم في النماذج البايولوجية والحياة وبتراكيز نقع ض من المدى التركيزى لمنحي المعایرة، يشير الجدول (1) الى ملخص لنتائج معادلة الخط المستقيم عند حدود فناعة 95%.

**جدول (1)**  
ملخص لنتائج معادلة الخط المستقيم.

نقطة التقاطع (a) عند حدود ثقة $n-2 \rightarrow \%95$ ( $a \pm S_a t$ )	الحساسية (الميل) عند حدود ثقة n-2 ( $b \pm S_b t$ )	المدى الخطي ـ V(IV) $\mu\text{g.ml}^{-1}$
$1.45 \pm 0.0346$	$\pm 0.0078$ 0.0896	(12-0.05)

#### \* الدقة او الضبط

عينت دقة الطريقة بأيجاد الانحراف القياسي النسبي المئوي  $R.S.D\%$  لثلاث تراكيز مختلفة لأيون الفناديوم (0.08، 0.4، 5) مايكروغرام/مل وتركيز ثابت لمحلول الكاشف (3 ملي مولاري) بتكرار كل تركيز عشر مرات، لوحظ من النتائج (جدول (2)) الحصول على دقة عالية بقيم صغيرة للانحراف المعياري ( $S_{n-1}$ ) بزمن تحليل قصير جداً (بضعة ثواني).

**جدول (2)**

دراسة دقة نتائج تقدير أيون V(IV) بوساطة معقد-  
 $\text{SHCH}_2\text{COOH}$

%RSD	$\sigma_{n-1}$	Abs.(y)	[V(IV)] $\mu\text{g.ml}^{-1}$
0.125	0.00142	1.1337	0.08
0.319	0.0047	1.469	0.4
0.306	0.0058	1.894	5

#### \* التوافق

للتعبير عن توافق طريقة تحليلية ما يتم بأحتساب الخطأ النسبي المئوي  $\%Erel$  و الاسترداد المئوي  $\%Rec$ . اجريت الحسابات باستخدام تراكيز متغيرة من ايون الفناديوم (0.2، 0.5، 10) مايكروغرام /مل، تبين من النتائج (جدول (3)) ان الطريقة مضبوطة وسهلة التطبيق لتحليل نماذج مختلفة تحتوي على ايون الفناديوم.

#### \* تأثير الزمن

قيست الامتصاصية للمعقد (VO-SH) في فترات زمنية مختلفة (10 - 240) دقيقة وبمعزل عن الضوء ويبين الشكل (6) ان المعقد ثابت لفترات زمنية طويلة تمتد الى عدة ساعات من خلال ثبوت امتصاصية المعقد تقريباً. لذلك تم تثبيت 15 دقيقة بأعتبرها وقتاً مناسباً لاستكمال التفاعل.

#### \* تأثير درجة الحرارة

يبين الشكل (7) تأثير درجة الحرارة على امتصاصية معقد VO-SH عند الطول الموجي الاعظم لامتصاص اظهرت النتائج الثباتية النسبية للمعقد عند تغيير درجة الحرارة على هذا الاساس لوحظ ان اجراء التحليل ضمن درجة حرارة الغرفة (20-30)°C كان مناسباً حيث يكون المعقد مستقرًا ويمكن اجراء المقارنة بين ال محليل القياسي والنموذج اعتماداً على خط المعایرة.

#### \* تأثير الضوء على ثبوتية المعقد

باستخدام تراكيز متغيرة لأيون الفناديوم (0.05، 5) مايكروغرام.مل<sup>-1</sup> قيست الامتصاصية للمعقد عند تعريضه للضوء المرئي او الى اشعة مصدر التشعيع بفترات زمنية مختلفة ولوحظ من خلال الشكل (8) عدم وجود اي تأثير للضوء المرئي او اشعة UV.Vis للجهاز على زيادة ثباتية او نفثة المعقد لفترة زمنية تمتد من عدة دقائق الى ساعات.

#### \* تحضير منحي المعایرة

بتثبيت التركيز الافضل للكاشف (3 ملي مولاري) حضرت سلسلة محليل (0.05 - 12) مايكروغرام.مل<sup>-1</sup> من ايون الفناديوم عند pH = 5.5 وسجلت الامتصاصية عند الطول الموجي الاعظم للمعقد (225.4 نانومتر) يبين الشكل (9) نتائج منحي المعایرة لمعقد الفناديوم.

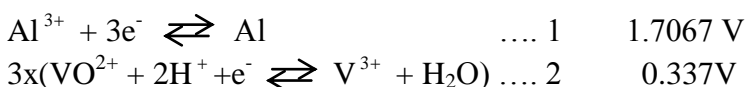
ويظهر مدى خصوصية لقوانين الامتصاص بمدى (0.05-12) مايكروغرام.مل<sup>-1</sup> عند الظروف الفضلى المنتسبة. تمت معالجة المعطى ات التحليلية المحصلة احصائياً<sup>(15-16)</sup>. وان قيمة الممتصصة المولارية تساوي 0.12251 مل/مايكروغرام.سم، لوحظ من خلال حساب الحساسية (ميل الخط المستقيم لمنحي المعایرة) ان الطريقة

النهائي متساوي في كل حالة (10 مل) عند  $pH = 5.5$  ، سجلت الامتصاصية عند الطول الموجي للامتصاص الاعظم من ملاحظة الشكل (10) ومراجعة النتائج ظهر ان نسبة الفنadiوم الى الكاشف هي (3:2) عند  $pH = 5.5$  تقريباً.

#### المدخلات

على الرغم من ان طرق تكوين المعقدات وقياس الامتصاصية طرق حساسة ويمكن من خلالها الوصول الى تراكيز واطئة الا انها عرضة لتدخل الكثير من الايونات، لذلك لابد من دراسة تأثير الايونات الدخيلة [ Cu(II) ، Na(I) ، Co(II) ، Mg(II) ، Mn(II) ، Ni(II) ، 10) الدراسة باستخدام تراكيز ثابت لأيون الفنadiوم مايكروغرام/مل] مع تراكيز متغيرة للايون الدخيل . اعدت الى اشارة البلانك زائدة  $3\sigma_B$  وهو الانحراف القياسي للبلانك. وحيثاً تم الاقتراح بأن المعيار يكون كما يلي :-

في جدول (4) وايجاد النسبة المئوية لتأثير التداخل. لوحظ من خلال النتائج المبينة في الجدول (4) ان بعض الايونات الدخيلة اعطت نسبة تأثير ايجابية اي ادت الى زيادة الامتصاصية بينما البعض اخر من الايونات اعطت نسبة تأثير سلبية اي ادت الى انخفاض الامتصاصية وبعضها لم يؤثر ، يمكن تفسير ذلك اعتماداً على  $E_{cell}$  ،  $\Delta G, K$  للتفاعلات قيد الدراسة، حيث لوحظ زيادة في الامتصاصية بوجود ايونات Al(III) ويمكن تفسير ذلك اعتماداً على المعادلات الآتية (17) :-



#### جدول (3)

ملخص نتائج التوافق لتقدير ايون الفنadiوم القياسي بهيئة معقد (VO-SH).

الاسترداد المئوي % Rec.	الخطأ المطلق المئوي % E rel.	الخطأ المطلق E	استرداد [V(IV)] $\mu\text{g.ml}^{-1}$	القياسي [V(IV)] $\mu\text{g.ml}^{-1}$	رقم الانمودج
99.00	1.00	0.002	0.198	0.2	1
99.64	0.36	0.018	4.982	5	2
98.78	1.22	0.122	9.878	10	3

#### حدود الكشف (D.L.)

يعرف حد الكشف لمادة مراد تقديرها بأنه ذلك التركيز الذي يعطي اشارة (استجابة) فوق الخط الاساسي للمحلول الكف (Blank) والتعريف الشائع في الكيمياء التحليلية هو تراكيز المادة المراد تقديرها بحيث تعطي اشارة متساوية الى اشارة البلانك زائدة  $3\sigma_B$  وهو الانحراف القياسي للبلانك. وحيثاً تم الاقتراح بأن المعيار يكون كما يلي :-

$$L.O.D = y_B + 3S_B$$

حد الكشف نظرياً بالاعتماد على الطرق الاحصائية

$$X_0 = 1.219 \mu\text{g.ml}^{-1}$$

اذن معادلة حد الكشف عند حدود الثقة 95%

$$X_0 \pm S_{xot} \longrightarrow 1.219 \pm 0.1243 \mu\text{g.ml}^{-1}$$

قدر حد الكشف عملياً وفق ما يسجل في جه از

المطابقية وتم ملاحظة ان ادنى تراكيز من منحني المعايرة (10 نانوغرام.مل<sup>-1</sup>) الذي يعطي امتصاصية 0.428 وحدة متصصية.

#### دراسة طبيعة معقد الفنadiوم (VO-SH)

##### طريقة التغير المستمر

باستخدام الظروف المثلثى تم مزج محلول ايون الفنadiوم مع محلول الكاشف تراكيزهما متساوي (0.5 مل مولاري) وبنسب حجمية مختلفة على ان يكون الحجم

بطرح 1 من 2



جدول (4)

ملخص لنتائج تأثير الايونات الدخيلة على امتصاصية المعقد تحت الظروف الفضلى

التدخل %										تركيز الايون $\mu\text{g.ml}^{-1}$
$\text{Fe}^{3+}$	$\text{Fe}^{2+}$	$\text{Cr}^{3+}$	$\text{Al}^{3+}$	$\text{Na}^{1+}$	$\text{Mg}^{2+}$	$\text{Mn}^{2+}$	$\text{Cu}^{2+}$	$\text{Ni}^{2+}$	$\text{Co}^{2+}$	
+0.89	-2.33	-15.27	+8.19	-0.27	+2.05	0.00	+1.97	+0.046	+7.42	4
+3.56	0.00	-22.87	-34.90	-2.43	+50.75	0.00	+12.51	-0.092	+14.48	16

$$K = \frac{-(396325.5J)}{2.303 \times 8.314 \times 298}$$

$$\therefore = 2.88 \times 10^{69}$$

لأيونات  $\text{Co}^{2+}$  دور في زيادة الامتصاصية ويعزى

هذا إلى أن هذه التفاعلات مفضلة من الناحية الدينمية

بسبب القيمة الموجبة  $E_{cell}$  والمقاربة إلى النصف فولت

وأنها تفاعلات باعثة للحرارة ( تلقائي ) بسبب القيمة

السلبية  $\Delta G^\circ$  : (-21.215 Kcal)  $\Delta G^\circ = -21.215 \text{ Kcal}$

من خلال المعادلة العامة للتفاعل يتبيّن أن التفاعل مفضل من الناحية الدينمية بسبب القيمة العالية  $E_{cell}$  للتفاعل وانه باعث للحرارة وتلقائي بسبب القيمة السلبية  $\Delta G^\circ = -94.81 \text{ kcal}$  ( وذلك قيمة ثابت التوازن  $K = 2.88 \times 10^{69}$  ).

$$\begin{aligned} \Delta G &= -n F E_{cell} \\ &= -3 \times 96500 \times 1.369 \\ &= -396325.5 \text{ J} \\ &= -94.81 \text{ kcal} \end{aligned}$$

$$\log k = \frac{-\Delta G}{2.303RT}$$



نضرب المعادلة (2)  $2 \times$



حيث كان التأثير سالباً وعلى وفق هذا النوع من التفاعلات الافتراضية وعلى وفق المعادلات الآتية :

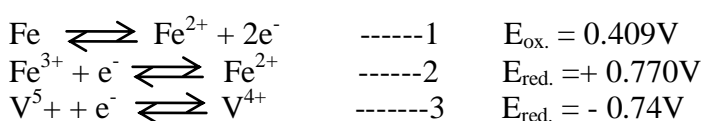


ولأيونات الكروم ( $\text{Cr}^{3+}$ ) كأيونات دخيلة على  $V(IV)$  ادت إلى أخاذ في الامتصاصية لأن مثل هذه التفاعلات لا تحدث بسبب ان قيم  $E_{cell}$  و  $\Delta G^\circ$  صفر

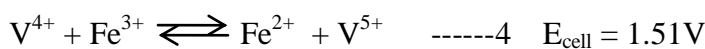


بضرب معادلة (2)  $2 \times$

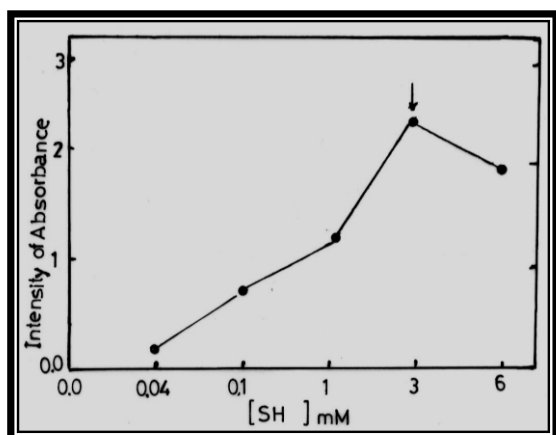
انموذج آخر هو تفاعل ايونات الحديديك مع الفناديوم  $\text{VO}^{2+}$  ، لأن هذه التفاعلات مفضلة من ناحية الدينمية الحرارية وعلى وفق المعادلات الآتية :



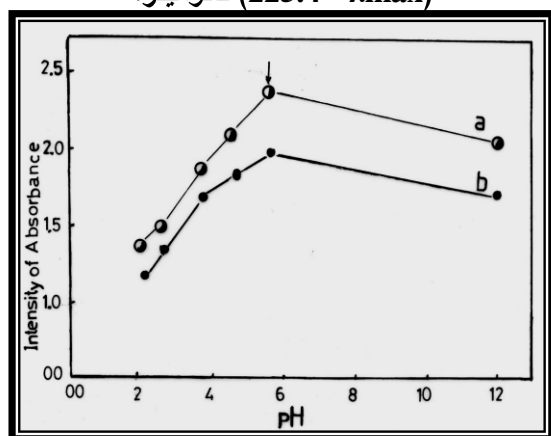
بالجمع



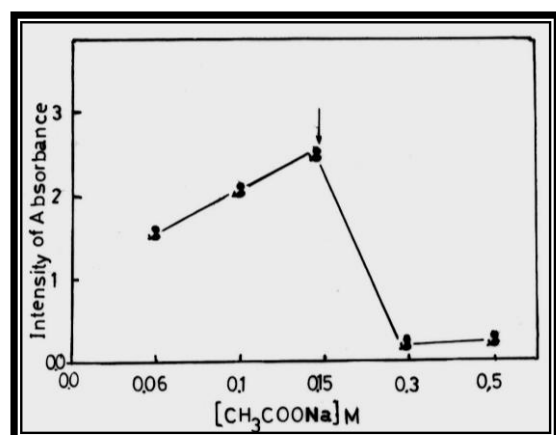
الشكل (1) طيف امتصاص ايون الفناديوم (a) والمعقد (b) و محلول الكاشف (SH) (c)



الشكل (2) تأثير تركيز الكاشف على شدة امتصاص المعقد VO-SH عند الطول الموجي الاعظم لامتصاص المعد (225.4 nm).



الشكل (3) تأثير pH المحلول على امتصاصية المعقد (VO-SH) لحالتين:- (a) ايون الفناديل والكاشف بوجود البفرات المحضرة. (b) الكاشف فقط مع البفرات.

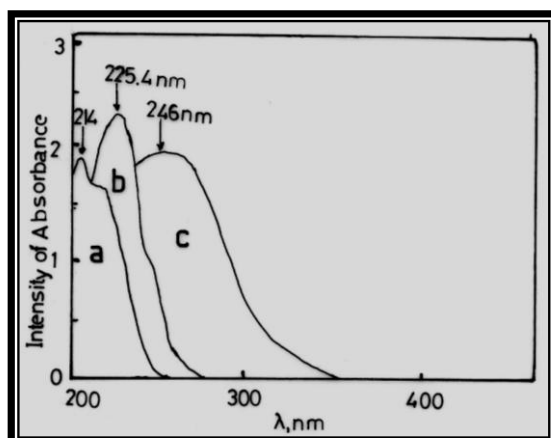


من خلال معادلة (4) نستنتج ان التفاعل يستمر وبنحو سريع وبالاتجاه المطلوب وعلى وفق ما هو مكتوب بسبب القيمة الموجبة لـ  $E_{cell}$  وانها تفاعلات باعثة للحرارة بسبب  $\Delta G^\circ = -34.82 \text{ kcal}$  كذلك نلاحظ من خلال المعادلة ان الناتج من الايون الدخيل كان  $\text{Fe}^{2+}$  هو الذي اعطى استجابة لهذا نلاحظ ان التأثير للايون الدخيل كان قليلاً (3.56 %) كما موضح في الجدول (4) وهكذا يمكن تفسير تداخل الايونات الاخرى على مبدأ طريقة التوضيح نفسها.

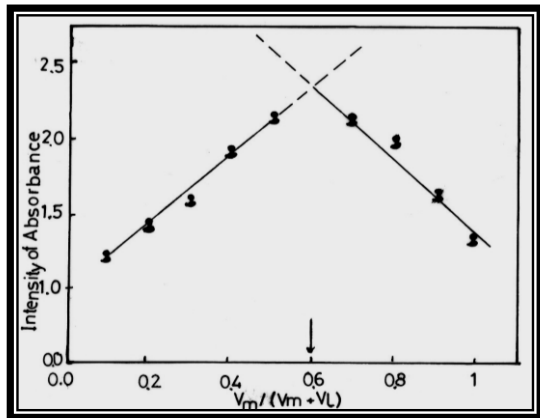
اما بالنسبة لتدخل الجزيئات فلم يلاحظ وجود تداخل واضح وهناك زيادة طفيفة جدا في الامتصاصية في حالة وجود جزئية EDTA والتارتارات ولم يلاحظ تأثير تدخل وجود النشا. لواحظ ما سبق ان تأثير الايونات الدخيلة كان ضئيل جدا بصورة عامة على هذا الاساس من الممكن تقدير ايون الفناديوم في اوساط تحتوي على بمقادير اثرية وبدون استخدام عوامل حجب.

#### الاستنتاجات

اثبنت نتائج دراسة تفاعل تكوين المعقد بين حامض الثيوكلاريكول وايون الفناديل امكانية اعتماد هذا المعقد في مجال تحليل هذه الايونات لما تمتاز به من سرعة و مباشرة وحساسية وكفاءة عاليتين من حيث الدقة والتوافق. اذ امكن تقدير عنصر الفناديوم على هيئة الفناديل  $\text{VO}^{2+}$  في الاوساط المائية والحامضية عند الظروف الفضلى المختارة وامكانية تطبيق هذا التفاعل على انموذجات حياتية وحية بدون الحاجة الى اجراء فصل مسبق او معالجات اولية.



الشكل (8) منحني المعايرة لمحنول معقد (VO-SH)

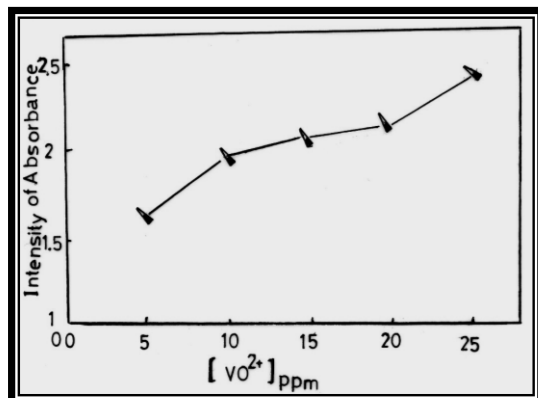


الشكل (9): طريقة التغيير المستمر (جوب) لمعقد الفاناديوم

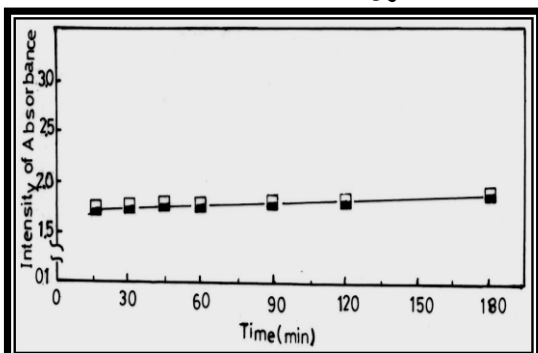
المصادر

- [1] Kadhim, K.H. 1992. "study of 2-Amino phenyl -4-(3,4- dihydroxy phenyl thiazol hydrochloride", M.Sc. Thesis, University of Baghdad .
- [2] Aldrich, 1985-1986. "Catalogue /Hand book of fine chemicals.
- [3] B.L. Vilas & P.J Costa, 1987. "Comprehensive coordination chemistry", 541, 2242, C.728, (editor, W. S .Geofferey).
- [4] C.F. Albert & W. Geofferey .1966. "Advanced Inorganic Chemistry", New York, 1966, p.812 .
- [5] Benedik, L; Repinc, U. 2004. "Determination of vanadium In Dietary Supplement 59", Acta Chim. Solv. 51: 59-65. (Internet).
- [6] Coetzee, P. P.; Fischer, J.L & Mingsong, H.U. 2006" The separation and simultaneous determination of V(IV) and V(V) species complexed with EDTA by IC-ICP-OES" Rand Afrikaans University PO box 542 , Auckland Park , (Internet).
- [7] Dru {Kovi}, V. & Voj {Kovi}, V. 2002."Simultaneous Determination of V(IV) and Au (III) in Mixtures by Third Derivative Spectro- photometry Using 3-hydroxy 2- methyl 1-phenyl 4-pyridone Ligand" Faculty of Science, University of Zagreb, Stross-mayerov trg 14, 10000 Zagreb, Croatia. (Internet).

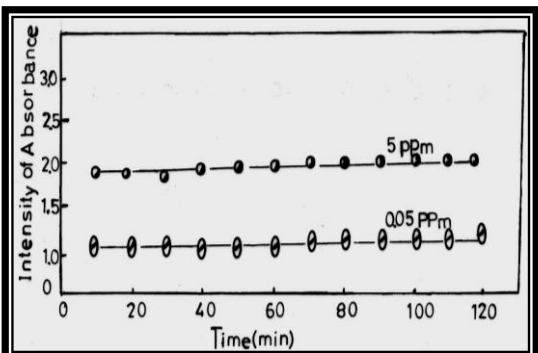
الشكل (4) تأثير تركيز البفر 1MCH<sub>3</sub>COONa على شدة امتصاص المعقد (VO-SH) عند الطول الموجي الاعظم ( $\lambda_{max}$ ) = 225.4 نانوميتر.



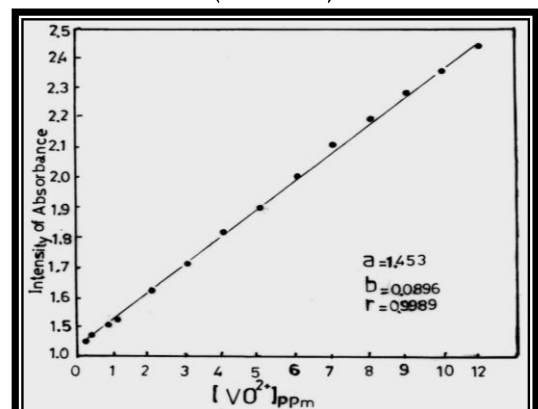
الشكل (5) تأثير تركيز ايون الفناديل (ppm) على امتصاصية المعقد (VO-SH) عند (5.5=pH) من محلول 0.15MCH<sub>3</sub>COONa



الشكل (6) ثباتية المعقد (VO-SH) بمرور الزمن.



الشكل (7) تأثير الضوء المرئي وال فوق بنفسجي على ثباتية معقد (VO-SH) بمرور الزمن.



A new complex of vanadium with thioglycolic acid (VO-SH) was prepared in (3:2) ratio at pH (5-5.5). The optimum conditions and stability have been investigated using spectrophotometric technique.

The (VO-SH) formation reaction is sensitive and selective for determination of vanadium over the concentration range (0.05 – 12)  $\mu\text{g.ml}^{-1}$  with a high linearity (99.78%), correlation coefficient ( $r$ ) = 0.9989. The proposed method has proved to be accurate (recovery % = 99.6), precision (RSD = 0.31%) and highly sensitive (detection limit = 10 ng.ml<sup>-1</sup>).

Explanation of different interferences effect via thermodynamic functions ( $E_{1/2}$ ,  $\Delta G$ ,  $K_{\text{equil}}$ ) for reaction used and it was possible to explain much of the obtained results.

- [8] Doadrio, A. L.; Sotelo, J. & Ruano, A.F. 2001 "Synthesis and Characterization of 0xo Vanadium (IV) Dithiocarbamates with Pyridine" Facultad de Farmacia, Universidad Complutense, 28040 Madrid, Spain. (Internet).
- [9] Teixeira, L.S.; Spinola, A.C. Queiroz, A.S. & Amorim, A. M. 1997. "2 - (2-Thiazolylazo) - p-cresol as a spectrophotometric reagent for vanadium determination in the presence of ascorbic acid" Institute de Quimica, Universidade Federal da Bahia, 40170-290 Salvador Bahia, Brazil.
- [10] Artifien, A.E.; Zayed, M.A. & Abou-El-Nasr, E.A. 2001. "Spec-trophotometrical and Thermal studies on Vanadium – Ions Pyrocatechol Complexes and their Application for Vanadium Ions Determination" faculty of science, Aswan, South Valley University, A.R. Egypt.
- [11] Meyorovitcl, J.; Farfel, A.; Suck, J. & Shechter, Y. 1987. Oral adminstration of vanadate normalizes blood glucose levels in streptozoticin-treated rats. *J. Biol. chem.*, 262(14): 6658-6662.
- [12] Battell, M.L., Yuen, V.G & Mc Neill, J.H. 1992. Treatment of BB rats with vanadyl sulphate pharmacol. commun. 1 (4):291-301.
- [13] Llobet, J.M. & Domingo, J.L. 1984. Acute Toxicity of Vanadium Compounds in rats and Mice. *Toxicol. Lett.* 23:227-231.
- [14] Cam, M.C; Cross, G.A.; Serrano, J.J; Lazaro, R. & Mc Neil, J.H 1993. In vivo antidiabetic actions of naglivan, an organic vanadyl compound in streptozotocin induced diabetes *Diabetes Res. Clin pract.* 20: 111-121.
- [15] Farrant, T. J. 1997. Practical Statistics for the Analytical Scientist, The Royal Society of Chem., Information Services, U.K.
- [16] Miller, J.C. & Miller, J.N. 1988. Statistics for Analytical Chemistry, 2<sup>nd</sup>. Ed., John Wiley & Sons, N.Y.
- [17] CRC Handbook of Chemistry and Physics, 1977-1978, Florida, 58<sup>th</sup> edition.

### Abstract

